

Modele cyfrowe nieskończonych obwodów elektrycznych – operatory pierwiastkowe

Streszczenie. W artykule przedstawiono pewne nowe wyniki dotyczące modelowania nieskończonych elektrycznych obwodów drabinkowych oraz linii długich ze stratami rozłożonymi za pomocą filtrów cyfrowych realizujących całko-pochodne złożone operatory rzędu 1/2 z rzeczywistymi i zespolonymi zero-biegunami.

Abstract. The article presents some new results on the modeling of endless ladder electrical circuits and transmission lines with spread loses through digital filters which realizes the integral-derivative composite 1/2 rank operators with real and complex root-poles. (*Infinite electrical circuits digital models – square root operators*)

Słowa kluczowe: całko-pochodne operatory rzędu 1/2, filtry cyfrowe typu IIR, obwody nieskończone, obwody o parametrach rozłożonych
Keywords: 1/2 rank integral-derivative operators, IIR-type digital filters, endless circuits, circuits with distributed parameters

Biblioteka całko-pochodnych filtrów cyfrowych rzędu niecałkowitego

Filtr cyfrowy A może posiadać dwie reprezentacje:

– reprezentację zespoloną „ z ”, $z \in \mathbf{C}$:

$$A(z) = \sum_{n=0}^{\infty} A_n z^n,$$

– reprezentację ciągową (czasową „ n ”):

$$A_n \equiv (A(z))_n = \frac{1}{n!} \left. \frac{d^n A(z)}{dz^n} \right|_{z=0}.$$

Całko-pochodny filtr cyfrowy rzędu niecałkowitego $-1 \leq p \leq 1$ z pojedynczym zero-biegunem a ma reprezentację ciągową [6]:

$$\left((a-z)^p \right)_n = a^p a^{-n} \left((1-z)^p \right)_n = a^p a^{-n} \prod_{m=1}^n \frac{m-1-p}{m},$$

przy warunku początkowym: $(A(z))_0 = A(z)|_{z=0}$.

Można tu wymienić dwa szczególne pierwiastkowe cyfrowe filtry całko-pochodne: różniczkujący „ d ” i całkujący „ i ”, których reprezentacje czasowo-ciągowe są następujące:

$$d_n \equiv \left((1-z)^{1/2} \right)_n = \prod_{m=1}^n \frac{2m-3}{2m} = \frac{-1}{2} \frac{1}{4} \frac{3}{6} \frac{5}{8} \dots \frac{2n-3}{2n},$$

$$i_n \equiv \left((1-z)^{-1/2} \right)_n = \prod_{m=1}^n \frac{2m-1}{2m} = \frac{1}{2} \frac{3}{4} \frac{5}{6} \frac{7}{8} \dots \frac{2n-1}{2n}.$$

Przedstawione filtry dają podstawę do utworzenia następujących filtrów, bardziej złożonych, otrzymywanych za pomocą splotów:

– filtr pierwiastkowy z pojedynczym zero-biegunem:

$$\left(\frac{\sqrt{a-z}}{\sqrt{b-z}} \right)_n = \sqrt{\frac{a}{b}} a^{-n} \sum_{m=0}^n \left(\frac{a}{b} \right)^m d_{n-m} i_m,$$

– filtr pierwiastkowy z dwoma zerami:

$$\left(\sqrt{(a-z)(b-z)} \right)_n = \sqrt{ab} a^{-n} \sum_{m=0}^n \left(\frac{a}{b} \right)^m d_{n-m} d_m,$$

– filtr pierwiastkowy z dwoma biegunami:

$$\left(\left(\sqrt{(a-z)(b-z)} \right)^{-1} \right)_n = (\sqrt{ab})^{-1} a^{-n} \sum_{m=0}^n \left(\frac{a}{b} \right)^m i_{n-m} i_m,$$

– filtr pierwiastkowy z zerem zespolono-sprzężonym:

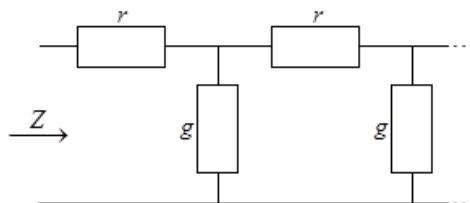
$$\left(\sqrt{(a-z)(a^*-z)} \right)_n = |a|^{1-n} \sum_{m=0}^n d_{n-m} d_m \cos(|(n-m)-m| \angle a),$$

– filtr pierwiastkowy z biegunem zespolono-sprzężonym:

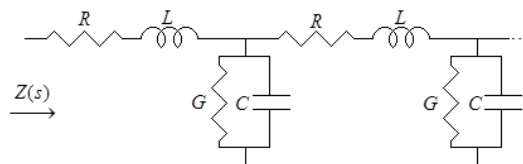
$$\left(\left(\sqrt{(a-z)(a^*-z)} \right)^{-1} \right)_n = |a|^{-1-n} \sum_{m=0}^n i_{n-m} i_m \cos(|(n-m)-m| \angle a).$$

Nieskończone obwody drabinkowe

Na rysunku 1 przedstawiono schemat nieskończonego, jednorodnego obwodu drabinkowego r, g .



Rys.1. Nieskończony, jednorodny obwód drabinkowy r, g .



Rys.2. Obwód drabinkowy RL, GC .

Impedancja wejściowa drabinki spełnia równanie rekurencyjne:

$$Z_{n+1} = r + \frac{1}{g + \frac{1}{Z_n}},$$

skąd wynika, że graniczna wartość $Z_n \rightarrow Z$ spełnia równanie:

$$Z = r + \frac{1}{g + \frac{1}{Z}}$$

prowadzące do równania kwadratowego:

$$gZ^2 - rgZ - r = 0.$$

Równanie to ma jedno użyteczne rozwiązanie:

$$Z = \frac{1}{2}r + \frac{1}{2}\sqrt{\frac{r}{g}\sqrt{4+rg}}.$$

Dla drabinki nieskończonej (rys. 2) można to rozwiązanie zaadoptować poprzez podstawienia operatorowe:

$$r \rightarrow R + sL, \quad g \rightarrow G + sC \quad (s \equiv d/dt),$$

otrzymując operator impedancji drabinki:

$$Z(s) = \frac{1}{2}L \left[(a+s) + \sqrt{\frac{a+s}{b+s}} \sqrt{4\omega^2 + ab + (a+b)s + s^2} \right],$$

gdzie: $a = \frac{R}{L}, \quad b = \frac{G}{C}, \quad \omega^2 = \frac{1}{LC}.$

Dokonując rozkładu operatora:

$$ab + 4\omega^2 + (a+b)s + s^2 = (\sigma + s)(\sigma^* + s),$$

gdzie: $\sigma = \frac{a+b}{2} + j\sqrt{(2\omega)^2 - \left(\frac{a-b}{2}\right)^2},$

operatorowi $Z(s)$ nadaje się postać:

$$Z(s) = \frac{1}{2}L \left[\sqrt{\frac{a+s}{b+s}} \sqrt{(\sigma+s)(\sigma^*+s)} + (a+s) \right].$$

Odpowiedni filtr cyfrowy otrzymuje się poprzez modelowanie operatora różniczkowania $s \rightarrow \frac{1}{\tau}(1-z)$:

$$(a+s) \rightarrow \left(a + \frac{1}{\tau}(1-z) \right) = \frac{1}{\tau}((1+a\tau) - z).$$

Tak więc stosując następujące podstawienia modelowania cyfrowego: $a \rightarrow 1+a\tau, \quad b \rightarrow 1+b\tau, \quad \sigma \rightarrow 1+\sigma\tau$ otrzymuje się filtr cyfrowy impedancji wejściowej drabinki nieskończonej:

$$Z(z) = \frac{1}{2}L \left[\sqrt{\frac{a-z}{b-z}} \sqrt{(\sigma-z)(\sigma^*-z)} + (a-z) \right].$$

Realizacje ciągowe składowych filtrów cyfrowych są następujące:

$$\left(\sqrt{\frac{a-z}{b-z}} \right)_n = \sqrt{\frac{a}{b}} a^{-n} \sum_{m=0}^n \left(\frac{a}{b} \right)^m d_{n-m} i_m = \sqrt{\frac{a}{b}} a^{-n} k_n^{ab},$$

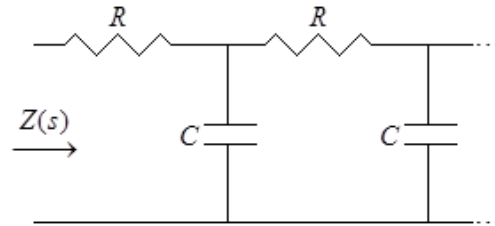
$$\left(\sqrt{(\sigma-z)(\sigma^*-z)} \right)_n = |\sigma|^{1-n} \sum_{m=0}^n d_{n-m} d_m \cos((n-m)-m\angle\sigma) = |\sigma|^{1-n} k_n^{\sigma\sigma^*},$$

$$\left(\sqrt{\frac{a-z}{b-z}} \sqrt{(\sigma-z)(\sigma^*-z)} \right)_n = \left\{ \left(\sqrt{\frac{a-z}{b-z}} \right)_n \right\}^*$$

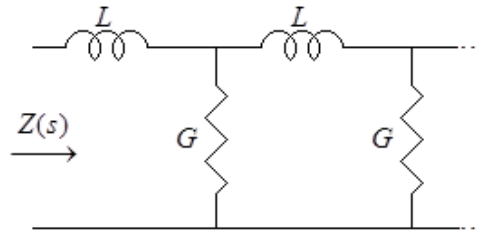
$$* \left\{ \left(\sqrt{(\sigma-z)(\sigma^*-z)} \right)_n \right\} = |\sigma| \sqrt{\frac{a}{b}} a^{-n} \sum_{m=0}^n \left(\frac{a}{|\sigma|} \right)^m k_{n-m}^{ab} k_m^{\sigma\sigma^*}$$

$$(a-z)_n = a a^{-n} \prod_{m=1}^n \frac{m-2}{m}.$$

Jako szczególne przypadki można rozpatrywać drabinki „RC” (rys. 3) i drabinki „LG” (rys. 4).



Rys.3. Drabinka „RC”.



Rys.4. Drabinka „LG”.

Dla drabinki „RC”:

$$Z(s) = \frac{1}{2}R \left(1 + \sqrt{\frac{4}{RC} + s} \right),$$

a dla drabinki „LG”:

$$Z(s) = \frac{1}{2}L \left(\sqrt{s} \sqrt{\frac{4}{LG} + s} + s \right).$$

Odpowiednie filtry cyfrowe, dla „RC”:

$$Z(z) = \frac{1}{2}R \left(1 + \sqrt{\frac{a-z}{1-z}} \right), \quad a = 1 + 4\frac{\tau}{RC},$$

oraz dla „LG”:

$$Z(z) = \frac{1}{2}L \left(\sqrt{(1-z)(a-z)} + (1-z) \right), \quad a = 1 + 4\frac{\tau}{LG}.$$

Realizacje ciągowe odpowiednich filtrów składowych mają postać:

$$\left(\sqrt{\frac{a-z}{1-z}} \right)_n = \sqrt{a} a^{-n} \sum_{m=0}^n a^m d_{n-m} i_m,$$

$$\left(\sqrt{(a-z)(1-z)} \right)_n = \sqrt{a} a^{-n} \sum_{m=0}^n a^m d_{n-m} d_m,$$

$$(1-z)_n = \prod_{m=1}^n \frac{m-2}{m}.$$

Model cyfrowy linii długiej „RLGC”

Równania różniczkowe rozkładu napięciowo-prądowego wzdłuż linii długiej mają postać:

$$-\frac{\partial u}{\partial x} = Ri + L \frac{\partial i}{\partial t}, \quad -\frac{\partial i}{\partial x} = Gu + C \frac{\partial u}{\partial t},$$

a model cyfrowy uzyskuje postać równań różniczkowych o pochodnych zwyczajnych:

$$-\frac{du}{dx} = \rho(a-z)i, \quad -\frac{di}{dx} = \rho^{-1}(b-z)u,$$

gdzie: $x = \frac{\dot{x}}{\omega\tau}$, $\omega = \frac{1}{\sqrt{LC}}$, $\rho = \sqrt{\frac{L}{C}}$, $\frac{\partial}{\partial t} \rightarrow \frac{1}{\tau}(1-z)$,

$$a = 1 + \frac{R}{L}\tau, \quad b = 1 + \frac{G}{C}\tau.$$

Ten sam układ w formie macierzowej ma postać:

$$-\frac{d}{dx} \begin{bmatrix} u \\ i \end{bmatrix} = \mathbf{A} \begin{bmatrix} u \\ i \end{bmatrix}, \quad \mathbf{A}(z) = \begin{bmatrix} 0 & \rho(a-z) \\ \rho^{-1}(b-z) & 0 \end{bmatrix},$$

a jego rozwiązaniem jest:

$$\begin{bmatrix} u \\ i \end{bmatrix} = e^{-xA} \begin{bmatrix} u^0 \\ i^0 \end{bmatrix}.$$

Macierzowy funkcyjny [5] filtr cyfrowy $e^{-xA(z)}$ można określić za pomocą macierzowo-operatorowej rozszerzonej wersji całkowego wzoru Cauchy'ego:

$$e^{-xA} = \frac{1}{2\pi j} \int_{C_{SpA}} \frac{e^{-x\lambda}}{\lambda \mathbf{I} - \mathbf{A}} d\lambda,$$

gdzie: \mathbf{I} – macierz jednostkowa, C_{SpA} – kontur obejmujący widmo macierzowe SpA operatora \mathbf{A} , tj.:

$$SpA = \{ \lambda : |\lambda \mathbf{I} - \mathbf{A}| = \lambda^2 - A^2 = 0 \} = \{ A, -A \},$$

gdzie: $|\cdot|$ – symbol wyznacznika macierzy,

$A(z) = \sqrt{(a-z)(b-z)} \leftrightarrow \{A_n\}_{n=0,1,2,\dots}$ – cyfrowy filtr zwany propagacyjnym.

Realizacja wzoru Cauchy'ego przebiega następująco:

$$\begin{aligned} e^{-xA} &= \frac{1}{2\pi j} \int_{C_{SpA}} \begin{bmatrix} \lambda & \rho(a-z) \\ \rho^{-1}(b-z) & \lambda \end{bmatrix} e^{-x\lambda} d\lambda = \\ &= \frac{\begin{bmatrix} \lambda & \rho(a-z) \\ \rho^{-1}(b-z) & \lambda \end{bmatrix}}{\lambda + A} e^{-x\lambda} + \frac{\begin{bmatrix} \lambda & \rho(a-z) \\ \rho^{-1}(b-z) & \lambda \end{bmatrix}}{\lambda - A} e^{-x\lambda} = \\ &= \frac{1}{2} \begin{bmatrix} 1 & \rho \sqrt{\frac{a-z}{b-z}} \\ \rho^{-1} \sqrt{\frac{b-z}{a-z}} & 1 \end{bmatrix} e^{-xA} + \frac{1}{2} \begin{bmatrix} 1 & -\rho \sqrt{\frac{a-z}{b-z}} \\ -\rho^{-1} \sqrt{\frac{b-z}{a-z}} & 1 \end{bmatrix} e^{xA} \end{aligned}$$

Realizacje ciągowe filtrów-operatorów składowych, tj.:

$$A = \sqrt{(a-z)(b-z)}, \quad Z = \rho \sqrt{\frac{a-z}{b-z}} \quad (\text{impedancji falowej}) \text{ oraz}$$

$$Y = \rho^{-1} \sqrt{\frac{b-z}{a-z}} \quad \text{znajdują się w bibliotece całko-}$$

pochodnych filtrów pierwiastkowych w pierwszym rozdziale artykułu. Pojawiają się też filtry cyfrowe funkcyjne $e^{\pm xA}$ [6], których realizacje ciągowe wyznacza się ze wzorów rekurencyjnych:

$$(e^{xA})_n = x \sum_{m=1}^n \frac{m}{n} A_m (e^{xA})_{n-m}, \quad (e^{xA})_0 = e^{xA_0}.$$

Definiując cyfrowe filtry hiperboliczne [4]:

$$chxA \equiv \frac{1}{2}(e^{xA} + e^{-xA}), \quad shxA \equiv \frac{1}{2}(e^{xA} - e^{-xA}),$$

otrzymuje się inną postać operatora macierzowego:

$$e^{xA} = \begin{bmatrix} chxA & ZshxA \\ YshxA & chxA \end{bmatrix}.$$

Realizacje ciągowe filtrów hiperbolicznych można otrzymać z realizacji filtrów $e^{\pm xA}$:

$$(chxA)_n \equiv \frac{1}{2}(e_n^{xA} + e_n^{-xA}), \quad (shxA)_n \equiv \frac{1}{2}(e_n^{xA} - e_n^{-xA}),$$

albo z zastosowaniem algorytmu rekurencyjnego („krzyżowego”) [6]:

$$\begin{bmatrix} chxA \\ shxA \end{bmatrix}_n = x \begin{bmatrix} 0 & 1 \\ 1 & 0 \end{bmatrix} \sum_{m=1}^n \frac{m}{n} A_m \begin{bmatrix} chxA \\ shxA \end{bmatrix}_{n-m},$$

$$\begin{bmatrix} chxA \\ shxA \end{bmatrix}_0 = \begin{bmatrix} chxA_0 \\ shxA_0 \end{bmatrix}.$$

Wnioski

W artykule podano realizacje ciągowo-czasowe następujących funkcyjnych filtrów cyfrowych: $(a-z)^p$ gdzie

$$-1 \leq p \leq 1, \quad \sqrt{\frac{a-z}{b-z}}, \quad \left(\sqrt{(a-z)(b-z)} \right)^{\pm 1}, \\ \left(\sqrt{(a-z)(a^* - z)} \right)^{\pm 1}, \quad e^{\pm xA(z)} \quad \text{gdzie}$$

$A(z) = \sqrt{(a-z)(b-z)}$. Pokazano, że są one składowymi filtrami modeli cyfrowych niektórych nieskończenie długich elektrycznych obwodów drabinkowych, a także linii długich RLGC.

LITERATURA

- [1] Atici F. M., Eloe P. W.: A transform method in discrete fractional calculus, *International Journal of Difference Equations (IJDE)*, 2 (2007), n. 2, 165-176
- [2] Li Y., Sheng H., Chen Y. Q.: Analytical impulse response of a fractional second order filter and its impulse response invariant discretization, *Signal Processing*, 91 (2011), n. 3, 498-507
- [3] Siwczyński M., Drwal A., Żaba S.: Zastosowanie cyfrowych filtrów rzędu ułamkowego typu wykładniczego do analizy układów o parametrach rozłożonych, *Przegląd Elektrotechniczny*, 88 (2012), nr 2, 184-190
- [4] Siwczyński M., Drwal A., Żaba S.: Zastosowanie cyfrowych filtrów hiperbolicznych rzędu ułamkowego do analizy procesów falowych, *Przegląd Elektrotechniczny*, 88 (2012), nr 5a, 218-222
- [5] Siwczyński M., Drwal A., Żaba S.: Filtry cyfrowe pierwiastkowo-wykładnicze zmiennej przestrzennej w teorii linii długiej, *Przegląd Elektrotechniczny*, 88 (2012), nr 3a, 139-147
- [6] Siwczyński M., Drwal A., Żaba S.: The digital function filters – algorithms and applications, *Bulletin of the Polish Academy of Sciences, Technical Sciences*, 61 (2013), n. 2, 371-377
- [7] Tseng C. C.: Design of FIR and IIR fractional order Simpson digital integrators, *Signal Processing*, 87 (2007), n. 5, 1045-1057
- [8] Chen Y. Q., Vinagre B. M.: A new IIR-type digital fractional order differentiator, *Signal Processing*, 83 (2003), n. 11, 2359-2365

Autorzy: dr inż. Zuzanna Siwczyńska, Politechnika Krakowska, Instytut Elektrotechniki i Informatyki, ul. Warszawska 24, 31-155 Kraków, E-mail: zsiw@pk.edu.pl.